

ФЕДЕРАЛЬНОЕ ГОСУДАРСТВЕННОЕ БЮДЖЕТНОЕ
ОБРАЗОВАТЕЛЬНОЕ УЧРЕЖДЕНИЕ ВЫСШЕГО ОБРАЗОВАНИЯ
«МОСКОВСКИЙ ГОСУДАРСТВЕННЫЙ УНИВЕРСИТЕТ
имени М.В.ЛОМОНОСОВА»

ФИЗИЧЕСКИЙ ФАКУЛЬТЕТ

ОТЧЁТ ПО ПРАКТИЧЕСКОМУ ЗАДАНИЮ №2
"РЕШЕНИЕ УРАВНЕНИЯ ТЕПЛОПРОВОДНОСТИ"

Выполнила студентка
308 группы
Гришина Екатерина Дмитриевна

Москва 2022

Постановка задачи

Используя метод переменных направлений, решить краевую задачу:

$$\begin{cases} \frac{\partial u}{\partial t} = \Delta u, & 0 < x < \pi/3, \quad 0 < y < \pi/2, \quad t > 0, \\ \frac{\partial u}{\partial x}|_{x=0} = \frac{\partial u}{\partial x}|_{x=\pi/3} = 0, \\ u|_{y=0} = u|_{y=\pi/2} = 0, \\ u|_{t=0} = \cos 3x \sin 4y \end{cases} \quad (1)$$

Аналитическое решение

Решим задачу аналитически, представляя решение в виде ряда

$$u(x, y, t) = \sum_{n,m} T_{nm}(t) u_{nm}(x, y), \quad (2)$$

где $u_{nm}(x, y)$ - собственные функции соответствующей задачи Штурма-Лиувилля

$$\begin{cases} \Delta u_{nm} + \lambda_{nm} u_{nm} = 0, \\ \frac{\partial u_{nm}}{\partial x}|_{x=0} = \frac{\partial u_{nm}}{\partial x}|_{x=\pi/3} = 0, \\ u_{nm}|_{y=0} = u_{nm}|_{y=\pi/2} = 0. \end{cases} \quad (3)$$

Решая задачу Штурма-Лиувилля, находим, что

$$\begin{cases} \lambda_{nm} = 9n^2 + 4m^2, \\ u_{nm} = \cos(3nx) \sin(2my), \end{cases} \quad (4)$$

где $m = 1, 2, \dots, \quad n = 0, 1, \dots$

Задача для временной части:

$$\begin{cases} T'_{nm}(t) + \lambda_{nm} T_{nm}(t) = 0, \\ T_{nm}(0) = \cos 3x \sin 4y, \end{cases} \quad (5)$$

Решение задачи Коши:

$$\phi_{nm} = \frac{1}{||u_{nm}||^2} \iint \Phi(x, y, t) u_{nm} dx dy \quad (6)$$

$$||u_{nm}||^2 = \frac{\pi^2}{24} (1 + \delta_{n0}) \quad (7)$$

$$\Phi(x, y, t) = \cos 3x \sin 4y \quad (8)$$

$$T_{nm} = \phi_{nm} e^{-\lambda_{nm} t} \quad (9)$$

В силу ортогональности собственных функций, соответствующих различным собственным значениям задачи Штурма-Лиувилля, получим:

$$\phi_{12} = 1; \quad \phi_{nm} = 0, \quad n \neq 1, \quad m \neq 2 \quad (10)$$

Полное аналитическое решение:

$$u(x, y, t) = e^{-25t} \cos 3x \sin 4y \quad (11)$$

Построение разностной схемы

Рассмотрим область $D = \{(x, y, t) : 0 \leq x \leq \frac{\pi}{3}, 0 \leq y \leq \frac{\pi}{2}, 0 \leq t \leq T\}$. Для численного решения задачи методом конечных разностей введём разностную сетку $w_x = \{x_i = ih_x, i = 0, 1, \dots, N_x, h_x = \frac{\pi}{3N_x}\}$, $w_y = \{y_j = jh_y, j = 0, 1, \dots, N_y, h_y = \frac{\pi}{2N_y}\}$, $w_t = \{t_k = k\tau, k = 0, 1, \dots, N_t, \tau = \frac{T}{N_t}\}$, $w_{xyt} = w_x \otimes w_y \otimes w_t$, где h_x , h_y , τ - шаги, а N_x , N_y , N_t - число узлов по осям координат x , y и времени t соответственно. Введём на этой сетке сеточную функцию $u_{ij}^k = u(x_i, y_j, t_k)$.

Введем разностную аппроксимацию оператора Лапласа:

$$\Delta u = \frac{\partial^2 u}{\partial x^2} + \frac{\partial^2 u}{\partial y^2} \rightarrow \Lambda_x u_{ij}^k + \Lambda_y u_{ij}^k = \Lambda u_{ij}^k, \quad (12)$$

$$\Lambda_x u_{ij}^k = \frac{u_{i+1j}^k - 2u_{ij}^k + u_{i-1j}^k}{h_x^2}, \quad (13)$$

$$\Lambda_y u_{ij}^k = \frac{u_{ij+1}^k - 2u_{ij}^k + u_{ij-1}^k}{h_y^2}, \quad (14)$$

где Λ - «численный» оператор Лапласа.

Начальные условия и граничные условия Дирихле аппроксимируются точно, а для граничных условий Неймана введем аппроксимацию односторонней разностной производной:

$$\begin{cases} \frac{u_{1j}^k - u_{0j}^k}{h_x} = \frac{u_{N_x j}^k - u_{N_x-1j}^k}{h_x} = 0 & (\text{ГУ по } x), \\ u_{i0}^k = u_{iN_y}^k = 0 & (\text{ГУ по } y), \\ u_{ij}^0 = 0 & (\text{НУ}) \end{cases} \quad (15)$$

Метод переменных направлений, метод прогонки

Будем аппроксимировать уравнение и искать решение задачи (1) с помощью метода переменных направлений. Рассмотрим, например, переход с временного слоя t^k на слой t^{k+1} . Введём дополнительный временной слой $t^{k+\frac{1}{2}}$. Тогда используемый шаблон имеет вид:

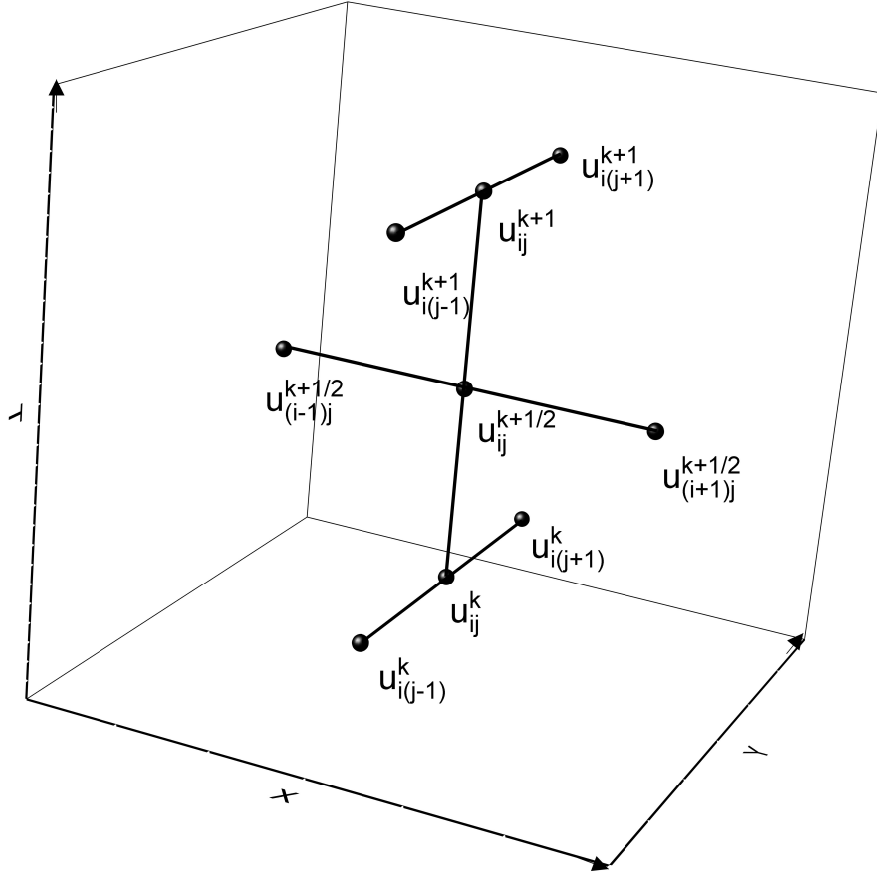


Рис. 1: Используемый шаблон.

При переходе со слоя t^k на слой $t^{k+\frac{1}{2}}$ при разностной аппроксимации оператора Лапласа вторую производную по x расписываем с помощью известных значений сеточной функции на слое t^k , а производная по y записывается с помощью неизвестных значений сеточной функции на слое $t^{k+\frac{1}{2}}$. Тогда разностная аппроксимация задачи для перехода между этими слоями имеет вид:

$$\begin{cases} \frac{u_{ij}^{k+\frac{1}{2}} - u_{ij}^k}{0.5\tau} = \frac{u_{i+1j}^{k+\frac{1}{2}} - 2u_{ij}^{k+\frac{1}{2}} + u_{i-1j}^{k+\frac{1}{2}}}{h_x^2} + \frac{u_{ij+1}^k - 2u_{ij}^k + u_{ij-1}^k}{h_y^2} \\ \frac{u_{1j}^{k+\frac{1}{2}} - u_{0j}^{k+\frac{1}{2}}}{h_x} = \frac{u_{Nxj}^{k+\frac{1}{2}} - u_{Nx-1j}^{k+\frac{1}{2}}}{h_x} = 0 \\ u_{i0}^{k+\frac{1}{2}} = u_{iN_y}^{k+\frac{1}{2}} = 0 \end{cases} \quad (16)$$

Аналогично можно записать для перехода между слоями $t^{k+\frac{1}{2}}$ и t^{k+1} , только учитывая, что теперь по известным значениям (на слое $t^{k+\frac{1}{2}}$) считается производная по y , а производная по x расписывается через неизвестные значения сеточной функции:

$$\begin{cases} \frac{u_{ij}^{k+1} - u_{ij}^{k+\frac{1}{2}}}{0.5\tau} = \frac{u_{(i+1)j}^{k+\frac{1}{2}} - 2u_{ij}^{k+\frac{1}{2}} + u_{(i-1)j}^{k+\frac{1}{2}}}{h_x^2} + \frac{u_{i(j+1)}^{k+1} - 2u_{ij}^{k+1} + u_{i(j-1)}^{k+1}}{h_y^2} \\ \frac{u_{1j}^{k+1} - u_{0j}^{k+1}}{h_x} = \frac{u_{Nxj}^{k+1} - u_{Nx-1j}^{k+1}}{h_x} = 0 \\ u_{i0}^{k+1} = u_{iN_y}^{k+1} = 0 \end{cases} \quad (17)$$

Задачи ставятся при $i = 1, 2, \dots, N_x - 1$, $j = 1, 2, \dots, N_y - 1$ (то есть не включая границы). Методом прогонки (описан далее) возможно решить при указанных i, j задачи, а далее можно с помощью соответствующих граничных условий вычислить значения на границе. Немного преобразуя аппроксимацию граничных условий Неймана, имеем для $i = 0, 1, \dots, N_x$, $j = 0, 1, \dots, N_y$:

$$\begin{cases} u_{i0}^k = u_{iN_y}^k = 0 \\ u_{1j}^k = u_{0j}^k \\ u_{N_x j}^k = u_{N_x-1j}^k \end{cases} \quad (18)$$

Немного упростим уравнение задачи (16), рассматривая его при фиксированном i и вводя обозначения

$$\begin{cases} A = -\frac{1}{h_y^2}, \\ B = (\frac{2}{h_y^2} + \frac{1}{0.5\tau}), \\ C = -\frac{1}{h_y^2}, \\ F_j = \frac{u_{ij}^k}{0.5\tau} + \frac{u_{i+1j}^k - 2u_{ij}^k + u_{i-1j}^k}{h_x^2} \end{cases} \quad (19)$$

Тогда уравнение примет вид

$$Au_{i+1j}^{k+\frac{1}{2}} + Bu_{ij}^{k+\frac{1}{2}} + Cu_{i-1j}^{k+\frac{1}{2}} = F_j \quad (20)$$

Будем искать решение с помощью метода прогонки, представляя

$$u_{ij}^{k+\frac{1}{2}} = \alpha_i u_{ij+1}^{k+\frac{1}{2}} + \beta_j, \quad j = 0, 1, \dots, N_y - 1 \quad (21)$$

Одно из граничных условий по y учтём, положив $\alpha_0 = \beta_0 = 0$. Подставляя выражение для $u_{ij-1}^{k+\frac{1}{2}}$ через $u_{ij}^{k+\frac{1}{2}}$, α_{j-1} , β_{j-1} , получим, что

$$u_{ij}^{k+\frac{1}{2}} = \frac{-A}{B + C\alpha_{j-1}} u_{ij+1}^{k+\frac{1}{2}} + \frac{F_j - C\beta_{j-1}}{B + C\alpha_{j-1}} \quad (22)$$

Сравнивая коэффициенты в этом выражении и в $u_{ij}^{k+\frac{1}{2}} = \alpha_j u_{ij+1}^{k+\frac{1}{2}} + \beta_j$, получаем рекуррентную формулу

$$\begin{cases} \alpha_j = \frac{-A}{B + C\alpha_{j-1}} \\ \beta_j = \frac{F_j - C\beta_{j-1}}{B + C\alpha_{j-1}} \end{cases} \quad (23)$$

В ходе прямой прогонки по рекуррентной формуле посчитаем α_j , β_j при $j = 1, 2, \dots, N_y - 1$. Учитывая граничное условие по y при $j = N_y$, получаем, что $u_{iN_y}^{k+\frac{1}{2}} = 0$. Используя это значение и вычисленные α_j, β_j , рассчитаем в ходе обратной прогонки $u_{ij}^{k+\frac{1}{2}}$. Таким образом мы найдём значения сеточной функции

на дополнительном слое при $i = 1, 2, \dots, N_x - 1$. Для $i = 0, N_x$ вычисление сеточной функции производится так, как указано в (18).

Для перехода с дополнительного слоя на слой t^{k+1} (задача (17) рассматриваем значения сеточной функции при фиксированном j и аналогично вводим обозначения

$$\begin{cases} A = -\frac{1}{h_x^2}, \\ B = (\frac{2}{h_x^2} + \frac{1}{0.5\tau}), \\ C = -\frac{1}{h_x^2}, \\ F_i = \frac{u_{ij}^{k+\frac{1}{2}}}{0.5\tau} + \frac{u_{ij+1}^{k+\frac{1}{2}} - 2u_{ij}^{k+\frac{1}{2}} + u_{ij-1}^{k+\frac{1}{2}}}{h_y^2} \end{cases} \quad (24)$$

Уравнение задачи (17) примет вид

$$Au_{i+1j}^{k+1} + Bu_{ij}^{k+1} + Cu_{i-1j}^{k+1} = F_i \quad (25)$$

Ищем решение в виде $u_{ij}^{k+1} = \alpha_i u_{i+1j}^{k+1} + \beta_i$, $i = 0, 1, \dots, N_x - 1$. Тогда, аналогично задаче (16), получаем рекуррентную формулу для коэффициентов

$$\begin{cases} \alpha_i = \frac{-A}{B+C\alpha_{i-1}} \\ \beta_i = \frac{F_i - C\beta_{i-1}}{B+C\alpha_{i-1}} \end{cases} \quad (26)$$

Учитывая граничное условие при $i = 0$, можем положить $\alpha_0 = 1$, $\beta_0 = 0$. С помощью этого в ходе прямой прогонки вычислим α_i , β_i . Для $i = N_x - 1$, учитывая граничное условие при $i = N_x$, можем записать $u_{N_x-1j}^{k+1} = \alpha_{N_x-1} u_{N_xj}^{k+1} + \beta_{N_x-1} = u_{N_xj}^{k+1}$, из чего следует, что $u_{N_xj}^{k+1} = \frac{\beta_{N_x-1}}{1-\alpha_{N_x-1}}$. В ходе обратной прогонки вычислим u_{ij}^{k+1} . Таким образом мы получили значения сеточной функции на слое t^{k+1} при $j = 1, 2, \dots, N_y - 1$. При $j = 0, N_y$ получим значения сеточной функции, учитывая граничные условия (18). Таким образом, мы описали переход с временного слоя t^k на t^{k+1} с помощью метода переменных направлений, который и применяется в данной работе.

Численное решение

Написание программы производилось на языке Python, построение графиков было произведено с помощью библиотеки matplotlib. Код программы приведён в приложении. Конкретные значения параметров, использованные при моделировании: $N_x = N_y = 200, T = 0.1, N_t = 1000 (\tau = 0.0001)$. В качестве результатов приведём профили в некоторые моменты времени.

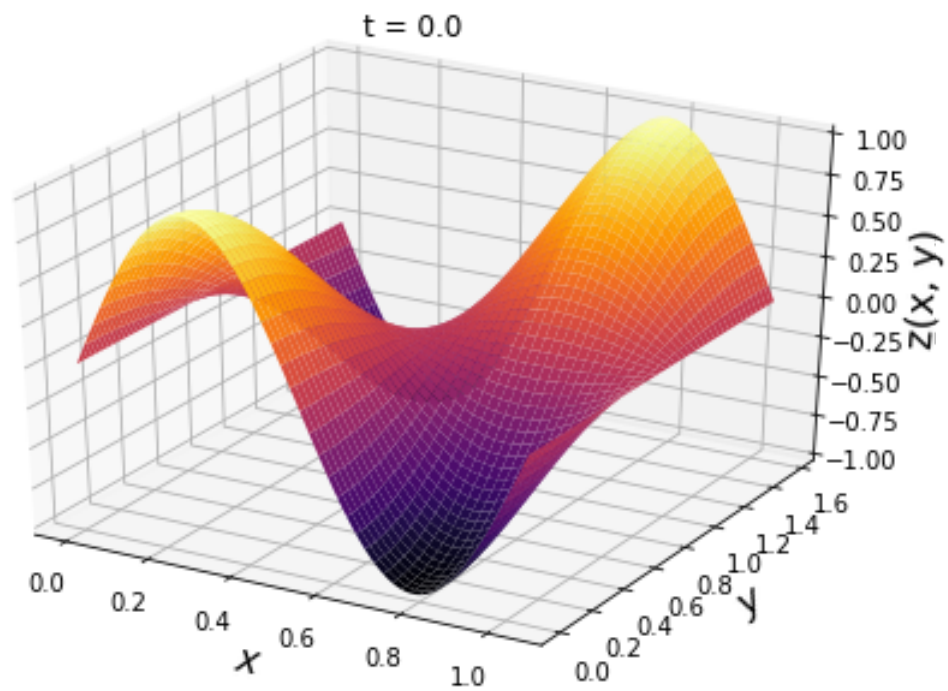


Рис. 2: Численное решение в $t=0$.

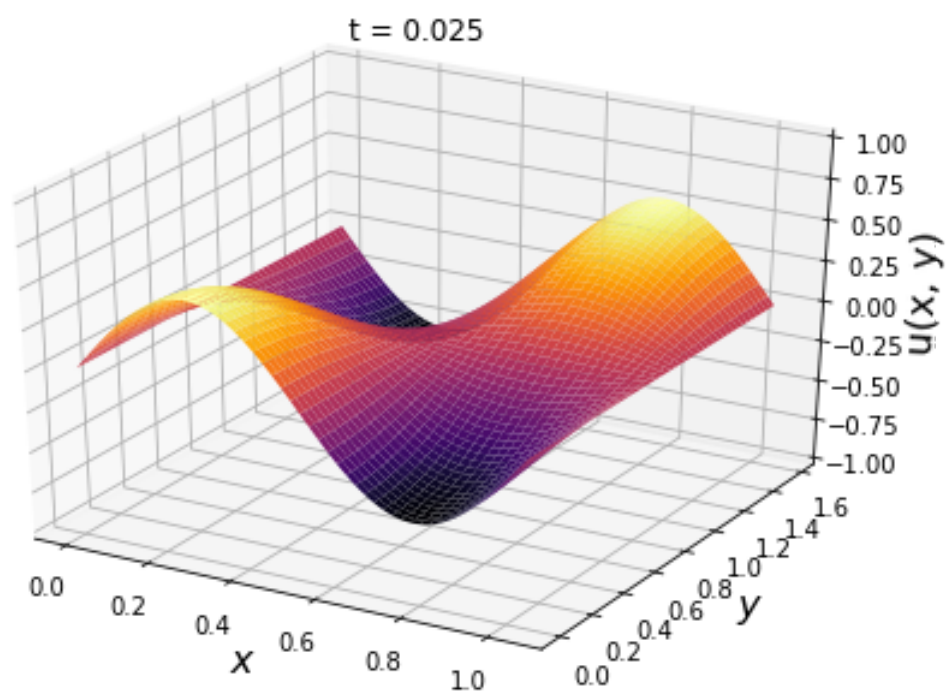


Рис. 3: Численное решение в $t=0.025$.

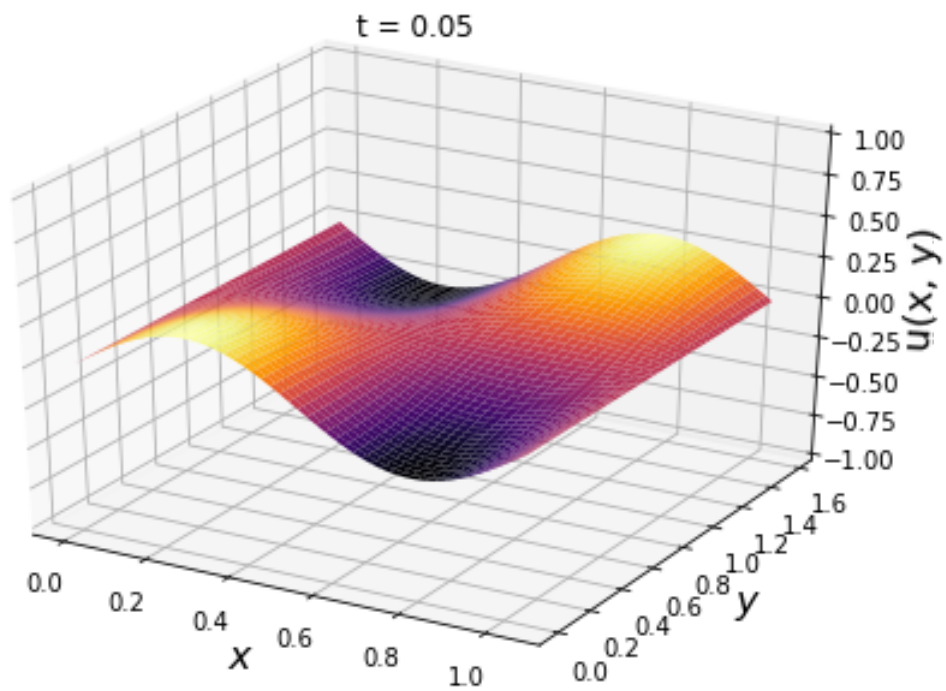


Рис. 4: Численное решение в $t=0.05$.

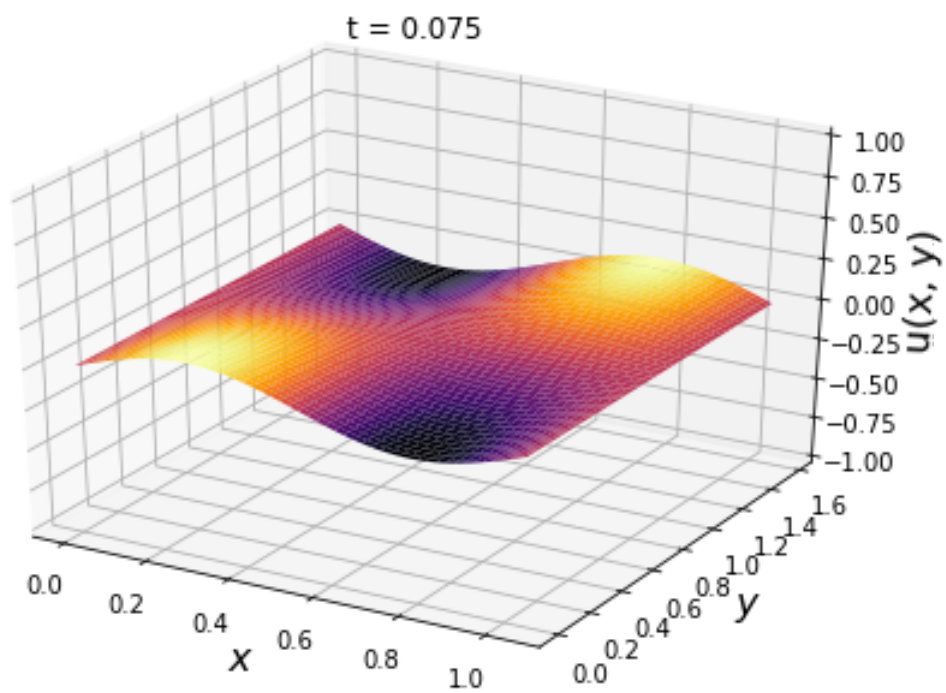


Рис. 5: Численное решение в $t=0.075$.

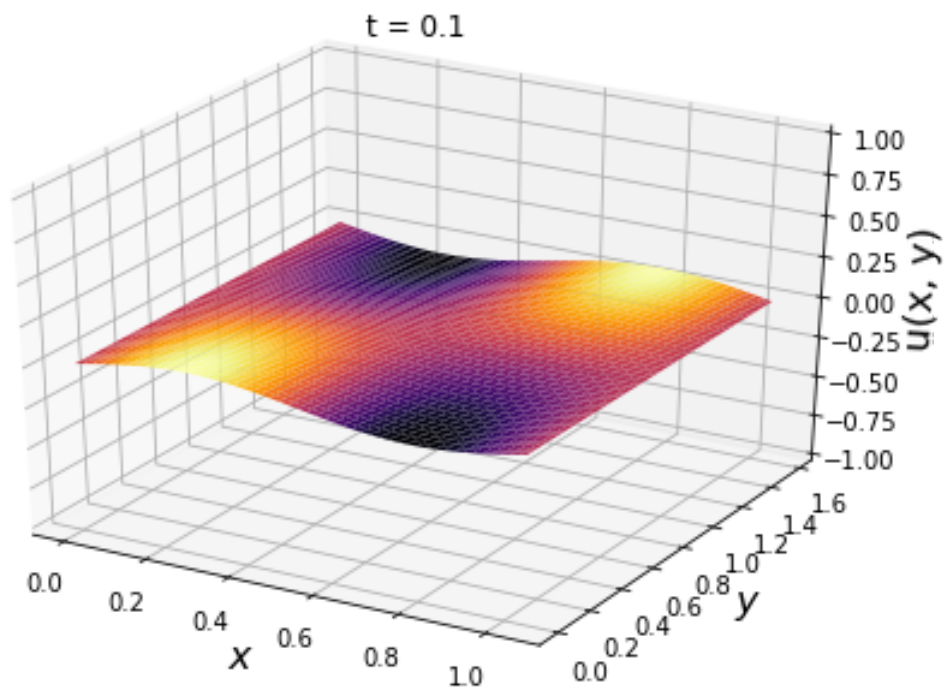


Рис. 6: Численное решение в $t=0.1$.

Аналитическое решение

Приведем также аналитическое решение задачи.

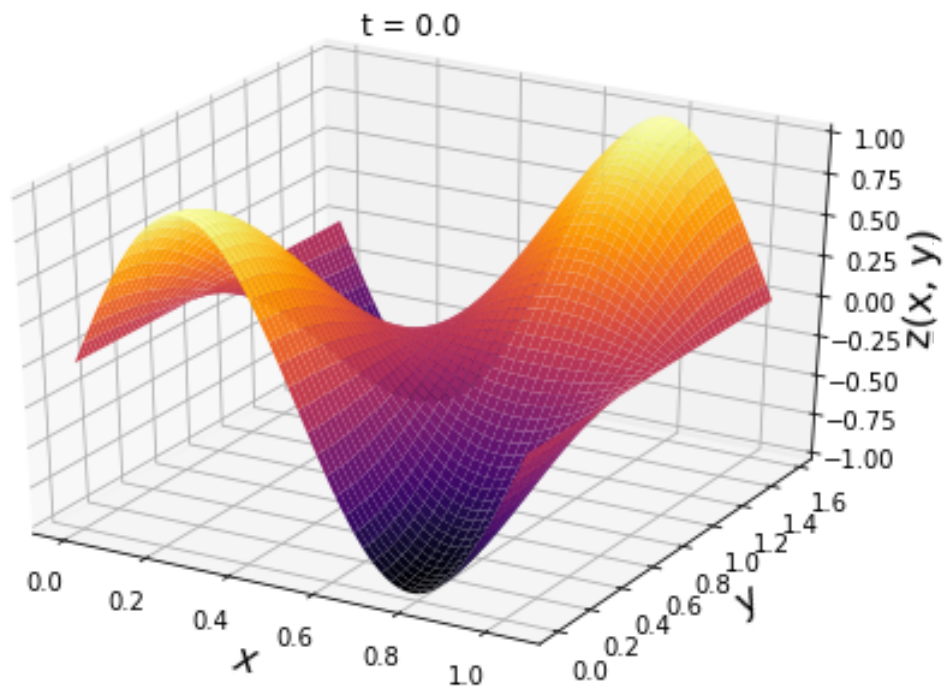


Рис. 7: Аналитическое решение в $t=0$.

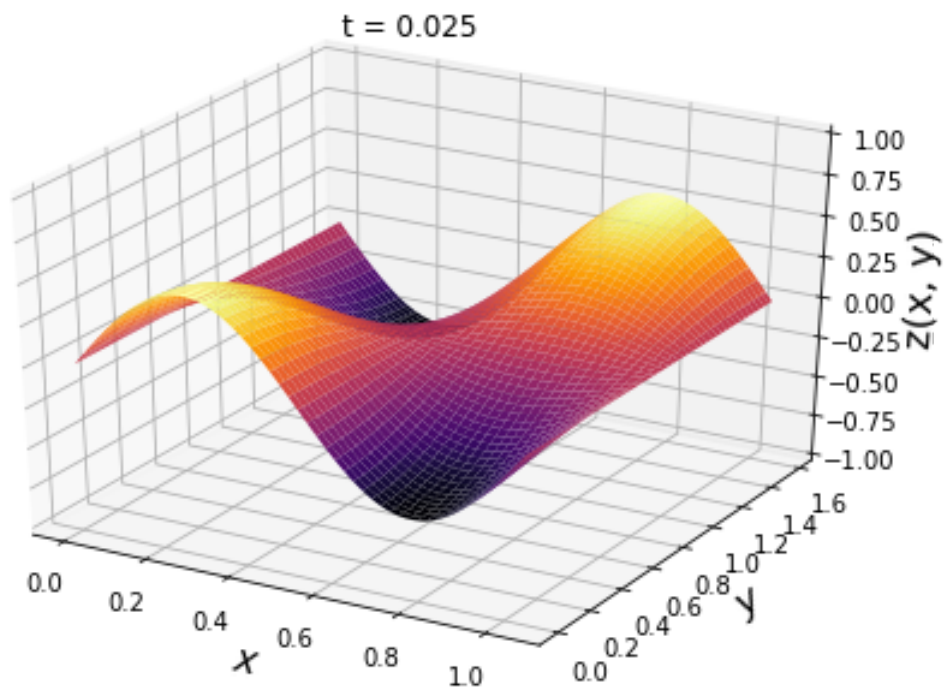


Рис. 8: Аналитическое решение в $t=0.025$.

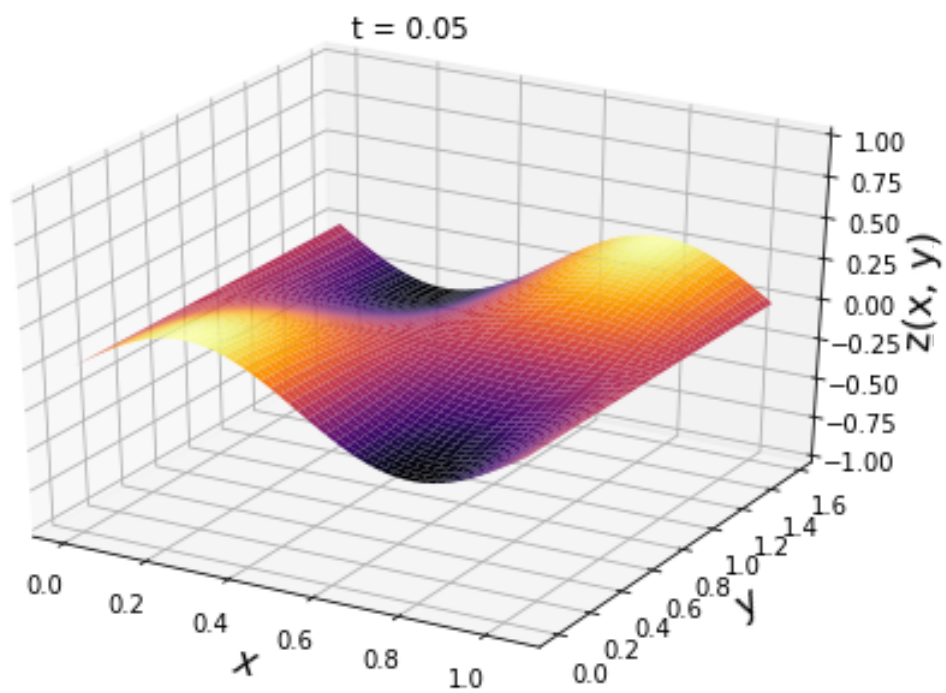


Рис. 9: Аналитическое решение в $t=0.5$.

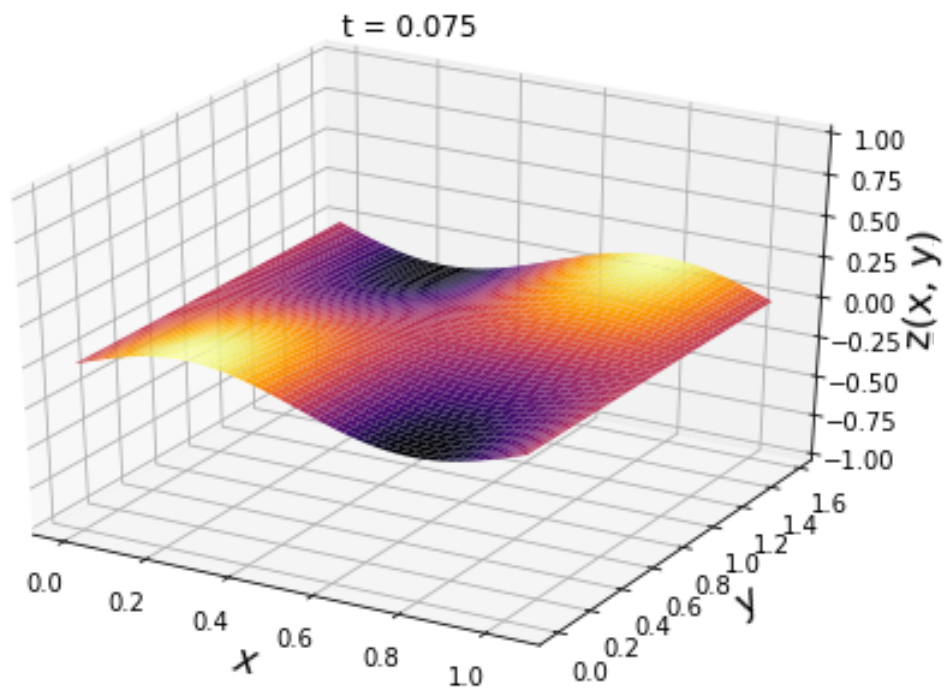


Рис. 10: Аналитическое в $t=0.75$.

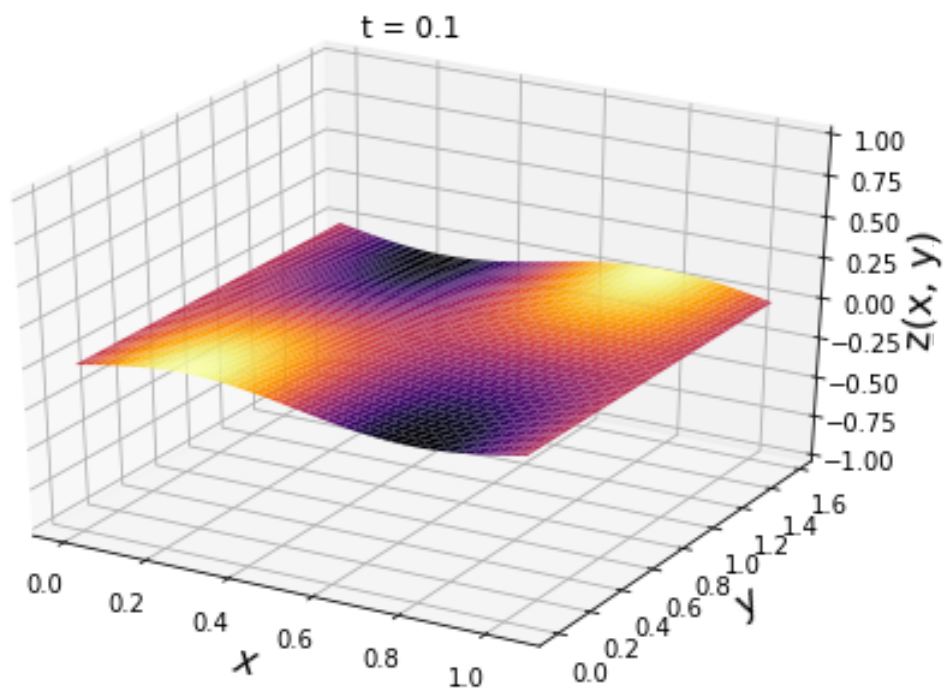


Рис. 11: Аналитическое решение в $t=1$.

Верификация результатов

Для верификации результатов сравним численное (в этом разделе сеточная функция обозначена как u_{ij}^k) и аналитическое (его значение в узлах разностной сетки в этом разделе обозначено как U_{ij}^k) решения в разные моменты времени. Будем на каждом временном слое, кроме начального (то есть при $k = 1, 2, \dots, N_t$) подсчитывать максимальную относительную разность между решениями $\delta^k = \max_{\substack{i=1, \dots, N_x-1 \\ j=1, \dots, N_y-1}} \left(\frac{|u_{ij}^k - U_{ij}^k|}{|u_{ij}^k|} \right)$. Приведём полученные значения δ в разные моменты времени.

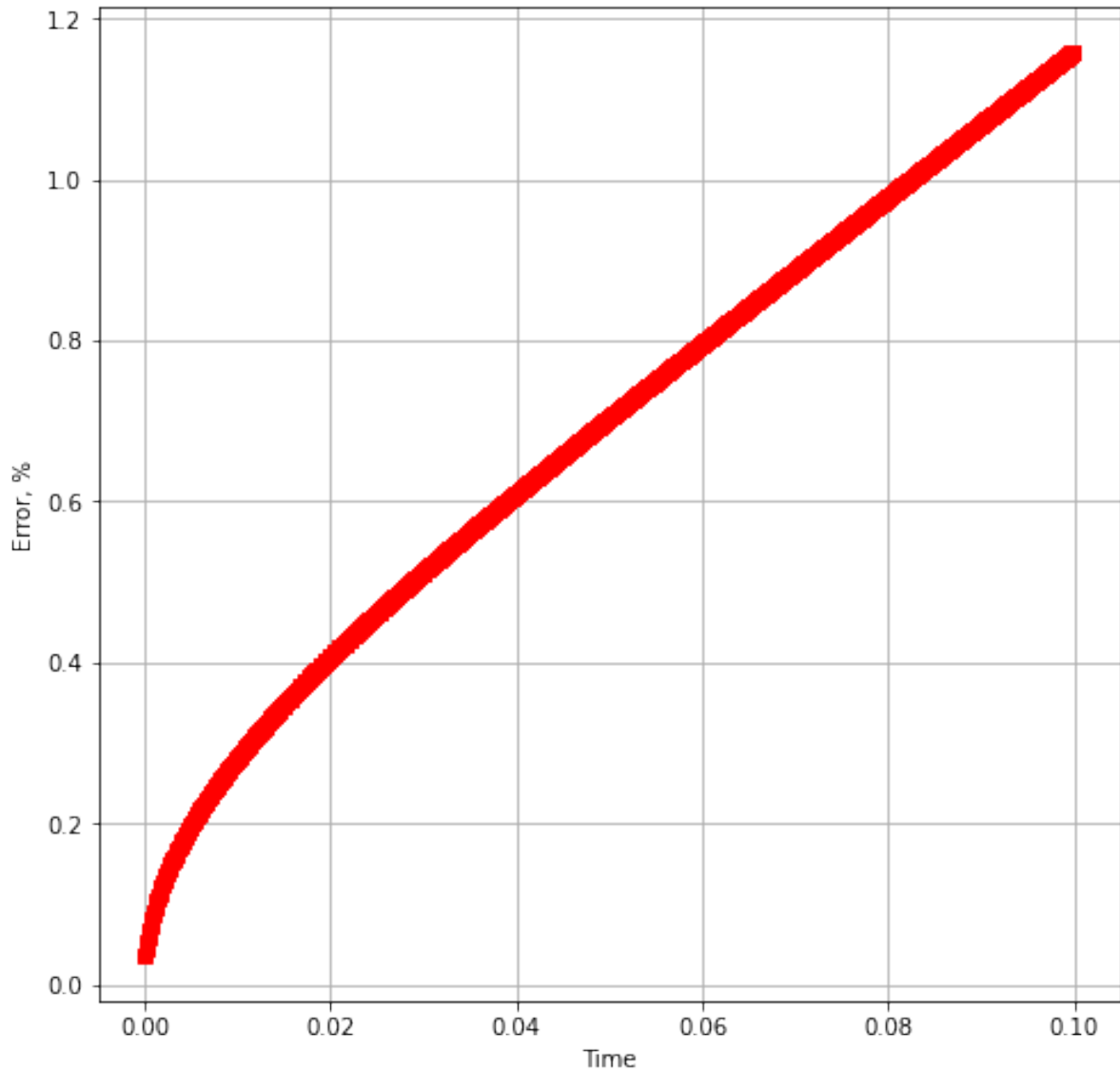


Рис. 12: Максимальная относительная разность на интервале $t \in (0; 0.1)$

Также приведем представление разности численного и аналитического решений в момент $t = 0.025$.

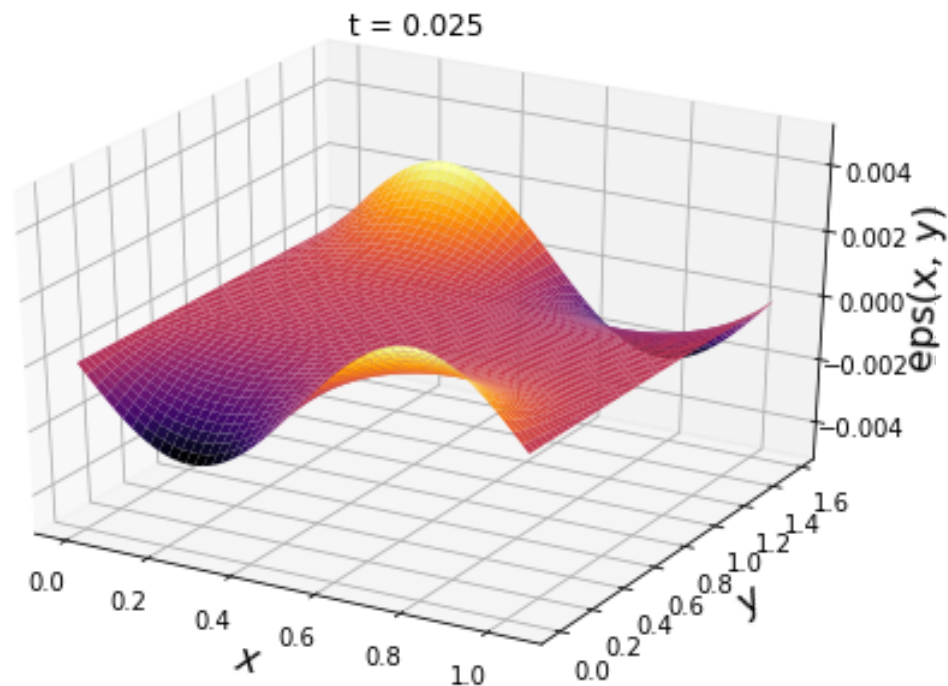


Рис. 13: Невязка при $t = 0.025$.

Заключение

Поставленную задачу можно решить как численно (используя метод переменных направлений и метод прогонки), так и аналитически. Сравнение с аналитическим решением показало, что максимальная относительная ошибка составила 1.16% , что говорит о допустимости такого численного решения. На границах области невязка достигает большего значения, это особенность данного численного метода.

Приложение: код программы

Полный код программы можно найти по ссылке:

<https://colab.research.google.com/drive/1bQeQ0y-zTUszHKwX7utpgnvexwJbHwi6?usp=sharing>

Литература

- [1] Курс лекций «Основы математического моделирования», Тихонов Н.А., Токмачев М.Г., 2012 год.
- [2] «Набор и вёрстка в системе LATEX», С.М. Львовский, 2003 год.